

В.М. Рубіш¹, О.Г. Гуранич¹, П.П. Гуранич²

Край фундаментального поглинання стекел $As_{40}S_{60-x}Se_x$

¹Ужгородський науково-технологічний центр матеріалів оптичних носіїв інформації ІППІ НАН України
вул. Замкові сходи 4, 88000, м. Ужгород, e-mail.center_uzh@email.uz.ua

²Ужгородський національний університет,
вул. Волошина 54, 88000, м. Ужгород, Україна

Наведені результати досліджень температурних та баричних залежностей краю фундаментального поглинання стекел $As_{40}S_{60-x}Se_x$ ($0 \leq x \leq 20$). Встановлено, що збільшення вмісту селену у складі стекел, температури, тиску призводить до зсуву краю поглинання у довгохвильову область. Визначені значення енергетичного положення краю поглинання E_g^α . На ізоабсорбційних кривих $E_g^\alpha \sim f(p)$ невідпалених стекел при певних тисках P_k виявлені злами, зумовлені виключенням впливу флуктуаційного вільного об'єму на їх структурне упорядкування.

Ключові слова: халькогенідні стекла, структура, край фундаментального поглинання, коефіцієнт поглинання, ширина псевдозаборненої зони.

Стаття постуила до редакції 25.01.2007; прийнята до друку 15.06.2007.

Вступ

Унікальне поєднання різноманітних властивостей в халькогенідних стеклах, можливість суттєвої зміни параметрів при модифікуванні (зміна хімічного складу та технології одержання, дія зовнішніх чинників) зумовлює широкий спектр їх практичного застосування в голографії і мікролітографії, системах запису і відтворення інформації, оптоелектроніці, інфрачервоній і нелінійній оптиці, сенсоріці, електронній техніці [1-6]. В цьому плані безсумнівний інтерес представляють стекла системи As-S-Se. Однак, на даний час більша увага приділялась дослідженню властивостей склоподібних As_2S_3 і As_2Se_3 та стеклам з підвищеним вмістом селену. Стекла ж $As_{40}S_{60-x}Se_x$ з малим вмістом Se ($0 < x < 20$) практично не вивчені.

В даній роботі приведені результати досліджень характеру зміни краю власного поглинання стекел $As_{40}S_{60-x}Se_x$ в залежності від технології одержання, температури та гідростатичного тиску.

I. Експериментальна частина

Склоподібні зразки системи As-S-Se готувалися шляхом прямого синтезу з особливо чистих елементарних компонентів (ОСЧ 17-4) у вакуумованих кварцових ампулах. Температура гомогенізації розплаву T_h вибиралася для кожного складу і не перевищувала температуру плавлення

більше, ніж на 50-100 К. Час гомогенізації – 24-30 год. Періодично розплави перемішували. Охолодження розплавів проводилося на повітрі. Для зняття залишкових механічних напружень стекла відпалювали протягом 1-2 год. при температурах $T_g - 20$ К (T_g – температура склування).

Енергетичне положення краю поглинання E_g^α визначалось із вимірювань спектральної залежності краю на рівні поглинання α , який відповідає середині інтервалу $0,3 \leq \alpha d \leq 3$ (d – товщина зразка). При цьому використовувався метод, суть якого полягає у підтримці постійного значення величини пропускання світла зразком на певному рівні поглинання при зміні зовнішньої дії [7]. Це досягається з допомогою зміни у процесі вимірювань довжини хвилі падаючого світла. Спектральне розділення складало не більше 10^{-3} еВ. Баричні залежності краю досліджувались за допомогою трьохвіконної оптичної камери високого гідростатичного тиску. Дослідження проводилися в інтервалі температур 290-350 К і тисків від 0,1 до 350 МПа.

II. Результати та їх обговорення

Дослідження краю власного поглинання стекел $As_{40}S_{60-x}Se_x$ показали, що у вказаних інтервалах температур і тисків та при рівнях поглинання $\alpha < 100 \text{ см}^{-1}$ він має урбахівську форму, а спектральні залежності коефіцієнта поглинання описуються

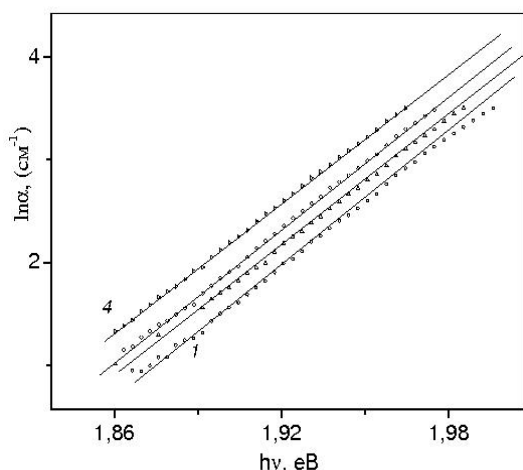


Рис. 1. Спектральні залежності $\ln \alpha$ скла $\text{As}_{40}\text{S}_{50}\text{Se}_{10}$ при різних температурах. T , К: 1 – 291; 2 – 307; 3 – 316; 4 – 333.

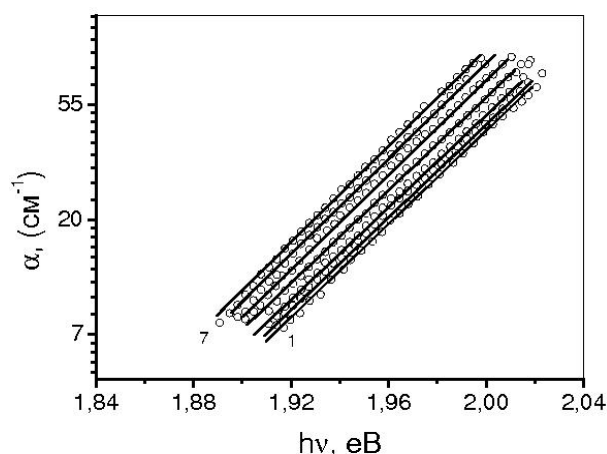


Рис. 2. Спектральні залежності коефіцієнта поглинання скла $\text{As}_{40}\text{S}_{50}\text{Se}_{10}$ при $T = 293$ К та різних значеннях гідростатичного тиску. P , МПа: 1 – 0; 1; 2 – 70; 3 – 90; 4 – 150; 5 – 250; 6 – 290; 7 – 350.

співвідношенням [8]

$$\alpha(h\nu) = \alpha_g \exp \left[\frac{(h\nu - E_g^\alpha)}{W} \right], \quad (1)$$

де W – енергетична ширина краю поглинання. Величину E_g^α при $\alpha = 1000 \text{ cm}^{-1}$ вважають оптичною шириною псевдозабороненої зони E_g^α .

На рис. 1 і 2 наведені типові для всіх досліджених стекл спектральні залежності краю поглинання скла $\text{As}_{40}\text{S}_{50}\text{Se}_{10}$. Слід зазначити, що урбахівську форму край поглинання стекл системи As–S–Se має і при рівнях поглинання $\alpha = 100 \text{ cm}^{-1}$ [9,10]. При збільшенні вмісту Se у складі стекл $\text{As}_{40}\text{S}_{60-x}\text{Se}_x$ край поглинання зсувається в область менших енергій, відображаючи зменшення їх ширини псевдозабороненої зони. Визначені при $P = 0,1 \text{ МПа}$ значення E_g^α стекл $\text{As}_{40}\text{S}_{60-x}\text{Se}_x$ складають 2.34 ($x = 0$), 2.18 ($x = 10$), 2.13 ($x = 15$), 2.08 ($x = 20$) і 1.77 eV ($x = 60$). Зменшення оптичної щільності викликане структурною перебудовою при переході від As_2S_3 до As_2Se_3 . Нахил краю поглинання при зростанні концентрації Se майже не змінюється. Це означає, що тип структурної матриці стекл $\text{As}_{40}\text{S}_{60-x}\text{Se}_x$ при заміні сірки на селен практично однаковий. Основними структурними одиницями, які формують просторово розгалужену сітку скла, є тригональні піраміди $\text{AsS}_{3/2}$ ($\text{AsSe}_{3/2}$). Незначні відхилення від адитивності свідчать про статистичний характер розподілу структурних угруповань у матриці стекл і наявності певної кількості молекулярних фрагментів з гомополярними зв'язками.

З рис. 1 і 2 видно, що зі збільшенням температури і тиску край поглинання зміщується у довгохвильову область. При цьому баричний зсув проходить без зміни нахилу краю поглинання. Залежність E_g^α від P може бути описана виразом [11]

$$E_g^\alpha(P, T_k) = E_g^\alpha(0, T_k) + \left(\frac{\partial E_g^\alpha}{\partial P} \right)_{T_k} P, \quad (2)$$

де $T_k = 293 \text{ К}$; $(\partial E_g^\alpha / \partial P)$ – коефіцієнт баричної зміни енергетичного положення краю поглинання. Для відпалених при $T_g - 20 \text{ К}$ стекл $\text{As}_{40}\text{S}_{60-x}\text{Se}_x$ E_g^α практично лінійно зменшується з ростом тиску (рис. 3, криві 3, 4). Для стекл $\text{As}_{40}\text{S}_{50}\text{Se}_{10}$ і $\text{As}_{40}\text{S}_{45}\text{Se}_{15}$ значення коефіцієнтів баричного зсуву краю поглинання в інтервалі 0,1-350 МПа складають -0,095 і -0,108 eV/ГПа, відповідно. Розрахунки показали, що при збільшенні тиску до 350 МПа енергетична ширина краю поглинання W , яка є мірою ступеня розупорядкованості структурної сітки скла, практично не змінюється. Це свідчить про те, що прикладення гідростатичного тиску суттєво не впливає на структуру ближнього порядку стекл цієї системи. Збільшення P призводить до зменшення міжатомних відстаней і, як наслідок, до зростання перекривання хвильових функцій валентних електронів.

Для невідпалених стекл $\text{As}_{40}\text{S}_{60-x}\text{Se}_x$ при певних тисках P_k , величина яких залежить від хімічного складу, на ізоабсорбційних кривих $E_g^\alpha \sim f(P)$

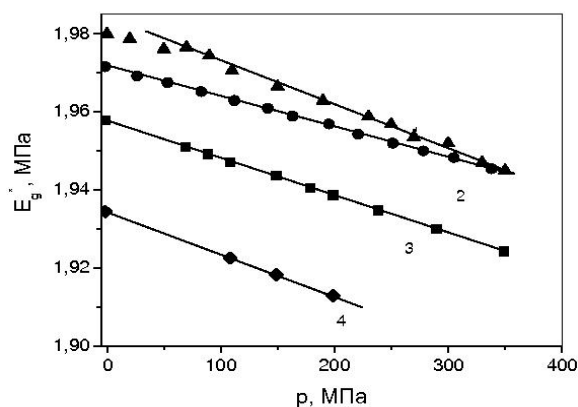


Рис. 3. Баричні залежності E_g^α ($\alpha = 23 \text{ cm}^{-1}$) стекл $\text{As}_{40}\text{S}_{60-x}\text{Se}_x$. 1, 2, 3 – $\text{As}_{40}\text{S}_{50}\text{Se}_{10}$ (1 – свіжо-приготованого, 2 – після зняття тиску 350 МПа, 3 – відпаленого), 4 – $\text{As}_{40}\text{S}_{45}\text{Se}_{15}$ (відпаленого).

спостерігаються зломи (рис. 3, крива 1). В області критичних тисків P_k змінюються і коефіцієнти баричного зсуву краю поглинання. Наприклад, для невідпаленого скла $As_{40}S_{50}Se_{10}$ значення P_k складає ~ 70 МПа, а коефіцієнт $(\partial E_g^\alpha / \partial P) = -0,070$ еВ/ГПа при $P < P_k$ і $-0,112$ еВ/ГПа при $P > P_k$. З ростом вмісту Se у складі стекел величина P_k зменшується. Подібні результати були одержані при вивченні склоподібного селену, одержаного в різних режимах (від різних температур гомогенізації T_h і з різними швидкостями охолодження розплаву Q), та стекел системи Sb-Se [11,12]. При цьому значення критичного тиску P_k для них значно вищі (230-250 МПа для Se і 160-170 МПа для стекел Sb_xSe_{100-x} ($x = 5-15$)). Така поведінка баричних залежностей E_g^α

стекел може бути обумовлена виключенням впливу флуктуаційного вільного об'єму на їх структурне упорядкування. З усіх вивчених матеріалів найбільшим вільним об'ємом V_h (найбільшою кількістю мікропорожнин) володіє склоподібний селен (3,0-3,7 нм). При цьому вільний об'єм вищий у стекел, одержаних у режимі жорсткого гартування розплаву (високі T_h і Q). Наприклад, для склоподібного Se, охолодженого від $T_h = 770$ К зі швидкістю $Q = 5$ К/с, величина V_h складає 3,7 нм. Дещо менші значення V_h характерні для стекел системи Sb-Se та As-S-Se [13,14]. Звідси випливає, що чим більший об'єм мікропорожнин і, відповідно, більша розупорядкованість структурної сітки скла, тим вищим є значення критичного тиску.

На основі співвідношення (2), температурну зміну краю поглинання досліджених стекел можна описати експоненціальною залежністю [15]

$$\alpha = \alpha_0 \exp \frac{\sigma^*(T)}{kT} (hv - E_0), \quad (3)$$

де α_0 , E_0 , $\sigma^*(T)$ – параметри співвідношення Урбаха, причому $\sigma^*(T)/kT = W$. Для скла $As_{40}S_{50}Se_{10}$ при $P = 0,1$ МПа точка збіжності залежностей $\ln \alpha(hv)$ знаходиться при значенні $\ln \alpha = 12,7$. Цьому значенню відповідає величина $E_0 = 2,4$ еВ. Умовно E_0 може бути співставлена з шириною псевдозаборононої зони при $T = 0$ К. Зростання тиску призводить до зміщення точки збіжності в область менших енергій при одночасному зменшенні $\ln \alpha_0$. Аналіз залежності $\sigma^*(T)$ показав, що з ростом температури параметр $\sigma^*(T)$ зростає і апроксимується формулою [15]

$$\sigma^*(T) = \sigma_0^* \frac{2kT}{hv_0} \text{th} \frac{hv_0}{2kT}. \quad (4)$$

Тут σ_0^* – константа, яка характеризує силу електрон-фононої взаємодії; hv_0 – енергія ефективного фонона, який формує край поглинання. Значення σ_0^* для стекел $As_{40}S_{60-x}Se_x$ складають 0,41-0,45. Знайдені значення $\sigma_0^* < 1$ свідчать на користь переважання у формуванні краю поглинання електрон-фононої взаємодії.

На рис. 4 наведено температурні залежності енергетичного положення урбахівського краю поглинання E_g^α ($\alpha = 23 \text{ см}^{-1}$) (криві 1, 2) та

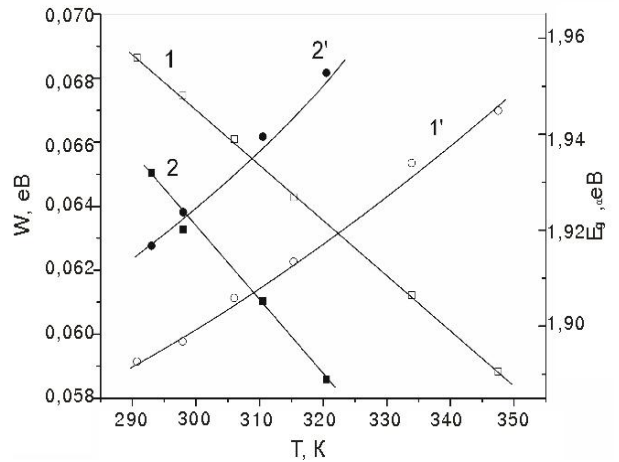


Рис. 4. Температурні залежності E_g^α (1, 2) та $W(1', 2')$ для стекел $As_{40}S_{50}Se_{10}$ (1, 1') і $As_{40}S_{50}Se_{15}$ (2, 2').

енергетичної ширини W (криві 1', 2') краю поглинання. Видно, що із збільшенням температури E_g^α зменшується, причому температурний коефіцієнт $(\partial E_g^\alpha / \partial T)_{300K}$ вищий у стеклах із більшим вмістом атомів Se ($-1,16 \cdot 10^{-3}$ еВ/К для $As_{40}S_{50}Se_{10}$ та $-1,49 \cdot 10^{-3}$ еВ/К для $As_{40}S_{45}Se_{15}$). Величина W зростає як при збільшенні температури, так і при збільшенні концентрації селену у складі стекел.

Аналіз одержаних результатів показав, що температурні залежності E_g^α та W добре описуються у рамках моделі Ейнштейна для системи неваємодіючих осциляторів [16, 17]

$$E_g^\alpha(T) = E_g^\alpha(0) - S_g^\alpha k \theta_E \left[\frac{1}{\exp(\theta_E/T) - 1} \right] \quad (5)$$

$$W = W_0 + W_1 \left[\frac{1}{\exp(\theta_E/T) - 1} \right] \quad (6)$$

де S_g^α – безрозмірна константа взаємодії, θ_E – температура Ейнштейна, яка відповідає усередненій частоті фононних збуджень системи неваємодіючих осциляторів, W_0 та W_1 – постійні величини. Розрахунки показали, що θ_E з ростом концентрації Se монотонно зменшується (від 510 К для $As_{40}S_{60}$ до 267 К для $As_{40}Se_{60}$). Величина S_g^α стекел $As_{40}S_{60-x}Se_x$ мінімальна для $x = 0$ (10,7) та $x = 60$ (8,1). Для стекел проміжних складів значення цієї константи значно вищі (15,6 для $As_{40}S_{50}Se_{10}$ і 17,8 для $As_{40}S_{45}Se_{15}$). Для стекел $As_{40}S_{60}$ та $As_{40}Se_{60}$ мінімальними є значення $W(0,051$ і $0,048$ еВ) та її складових W_0 і W_1 . Підвищення температури та вмісту атомів селену у складі стекел $As_{40}S_{60-x}Se_x$ приводить до збільшення енергетичної ширини W краю поглинання (рис. 4, криві 1', 2') за рахунок температурного та композиційного розу порядкування, відповідно.

Висновки

В області краю фундаментального поглинання спектральні залежності коефіцієнта поглинання стекел системи As-S-Se описуються правилом Урбаха. У формуванні краю поглинання переважаюча роль належить електрон-фононій

взаємодії. При збільшенні вмісту селену у складі стекло, температури і тиску край поглинання зміщується у довгохвильову область, відображаючи зменшення ширини псевдозабороненої зони. Температурні і баричні коефіцієнти ($\partial E_g^*/\partial T$) 300 К і

($\partial E_g^*/\partial P$) Т більші у стеклах з вищою концентрацією селену. Злом на ізоабсорбційних кривих $E_g^a \sim f(P)$ невідпалених стекло обумовлений виключенням впливу флуктуаційного вільного об'єму на їх структурне упорядкування.

- [1] V.S. Sanghera, I.D. Aggarwal. Active and passive chalcogenide glass optical fibres for IR applications: a review // *J. Non-Cryst. Solids*, **256-257**, pp. 6-16 (1999).
- [2] G.F. Zhou. Materials aspects in phase-change optical recording // *Mat. Sci. Eng. A*, **304-306**, pp. 73-80 (2001).
- [3] T. Ohta, M. Birukawa, N. Yamada, K. Hirao. Optical recording: phase-change and magneto-optical recording // *J. Magnetism & Magnetic Mat.*, **242-245**, pp. 108-115 (2002).
- [4] A.M. Andries, M.S. Iovu, S.D. Shutov. Chalcogenide non-crystalline semiconductors in optoelectronics // *J. of Optoelectronics and Advanced Mat.*, **4(3)**, pp. 631-648 (2002).
- [5] A.V. Stronski, M. Vlcek. Photosensitive properties of chalcogenide vitreous semiconductors in diffractive and holographic technologies applications // *J. of Optoelectronics and Advanced Mat.*, **4(3)**, pp. 699-704 (2002).
- [6] В.В. Петров, А.А. Крючин, С.М. Шанойло, С.А. Костюкевич, В.Г. Кравець, А.С. Лапчук. *Оптические диски: история, состояние, перспективы развития*. Київ, Наукова думка, 176 с. (2003).
- [7] Е.И. Герзанич, П.П. Гуранич, А.Г. Сливка, В.С. Шуста, М.И. Гурзан, В.М. Кедюлич. Барическая зависимость края фундаментального поглощения в области фазовых переходов собственных сегнетоэлектриков типа $\text{Sn}_2\text{P}_2\text{S}_6$ // *Изв. Вузов. Физика*, **8**, сс. 82-85 (1997).
- [8] А. Фельц. *Аморфные и стеклообразные неорганические твердые тела*. М., Мир, 556 с. (1986).
- [9] V.M. Rubish, O.G. Guranich, P.P. Shtets, V.V. Rubish, T.N. Shchurova, N.D. Savchenko, V.P. Perevuznik, P.P. Guranich. Preparation conditions and hydrostatic pressure effect on fundamental absorption edge for As-S-Se glasses // *Abstr. III Intern. Conf. on Op-toelectronic Information Technologies "Photonics-Ods 2005"*, Vinnytsa, Ukraine, p. 185 (2005).
- [10] О.А. Мукайло, О.Г. Гуранич, В.М. Рубіш, С.М. Гасинетс, В.В. Рубіш, М.Ю. Риган, П.П. Гуранич. Influence of preparation conditions and hydrostatic pressure on the optical properties selenium-containing glasses // *Abstr. Intern. conf. of physicals chemistry ROMPHYSICHEM – 12*, Bucharest, Romania, p. 190 (2006).
- [11] О.Г. Гуранич, В.М. Рубіш, П.П. Гуранич. Оптичні властивості с-Se // *Наук. Вісник Ужгород. ун-ту. Серія Фізика*, **19**, сс. 63-67 (2006).
- [12] В.В. Рубіш, О.Г. Гуранич, В.М. Рубіш, П.П. Штець, Д. Семак, О.І. Герзанич. Вплив умов одержання і гідростатичного тиску на край фундаментального поглинання склоподібного селену // *Мат.ІІ Міжнар. наук. конф. «Фізика неупорядкованих систем»*, Львів, Україна, сс. 77-78 (2003).
- [13] А.П. Шпак, В.М. Рубіш. *Склоутворення і властивості сплавів в халькогенідних системах на основі миш'яку та сурми*. Київ ІМФ НАНУ, 120 с. (2006).
- [14] О.Г. Гуранич, В.В. Рубіш, З.П. Гадьмаші, Ю.А. Горват, М.О. Дуркот, Т.В. Павлишинець, О.С. Микуланинець-Мешко, Р.П. Пісак, П.П. Штець. Діаграми «властивість-склад» і структура стекло в системі $\text{As}_2\text{S}_3\text{-As}_2\text{Se}_3$ // *Вісник Ужгород. ун-ту. Серія Фізика*, **15**, сс. 170-174 (2004).
- [15] В.С. Шуста, Е.И. Герзанич, А.Г. Сливка, П.П. Гуранич, В.А. Бобела. Урбаховское поведение края поглощения сегнетоэлектрических кристаллов $(\text{Pb}_x\text{Sn}_{1-x})\text{P}_2\text{S}_6$ // *Укр. физ. журн.*, **37**, сс. 561-565 (1992).
- [16] M. Beaudoin, A.J.G. Devries, S.R. Johnson, H. Laman, T. Tiedje. Optical absorption edge of semiinsulating GaAs and In P at high temperatures // *Appl. Phys. Lett.*, **70**, pp. 3540-3542 (1997).
- [17] Z. Yang, K.P. Homewood, M.S. Finney, M.A. Harry, K.J. Reeson. Optical absorption study of ion beam synthesized polycrystalline semiconducting FeSi_2 // *J. Appl. Phys.*, **78(3)**, pp. 1958-1963 (1995).

V.M.Rubish¹, O.G.Guranich¹, P.P.Guranich²

Fundamental Absorption Edge of $\text{As}_{40}\text{S}_{60-x}\text{Se}_x$

¹*Uzhgorod Scientific-Technological Center of the
Institute for Information Recording NASU NASU, Ukraine*
²*Uzhgorod National University, Ukraine*

The investigation results of temperature and baric dependences for absorption edge of $\text{As}_{40}\text{S}_{60-x}\text{Se}_x$ glasses ($0 \leq x \leq 20$) are reported. It's been determined that the increase of Se content in the glass composition, of temperature and pressure results in absorption edge shift towards the longwave spectrum range. The energy positions values of E_g^a absorption edge have been determined. Breaks caused by exclusion of fluctuation free volume effect on their structural order were found out on isoabsorbing curves $E_g^a \sim f(P)$ of unannealed glasses at certain pressures P_k .